



Рис 1. Тектонічна схема території зони відчуження за матеріалами дистанційних зйомок

Примітка: I – зони розломів 1-го порядку: 1 – Брусилівська; 2 – Одесько-Тальнівська; 3 – Південно-Прип'ятьська; 4 – Тетерівська-1; 5 – Тетерівська-2; 6 – Брагинська; 7 – Дніпровська; 8 – Київська. II – зони розломів 2-го порядку. III – зони розломів 3-го порядку. IV – інші розломи. V – державний кордон; VI – межа зони відчуження; VII – межа 10-кілометрової зони.

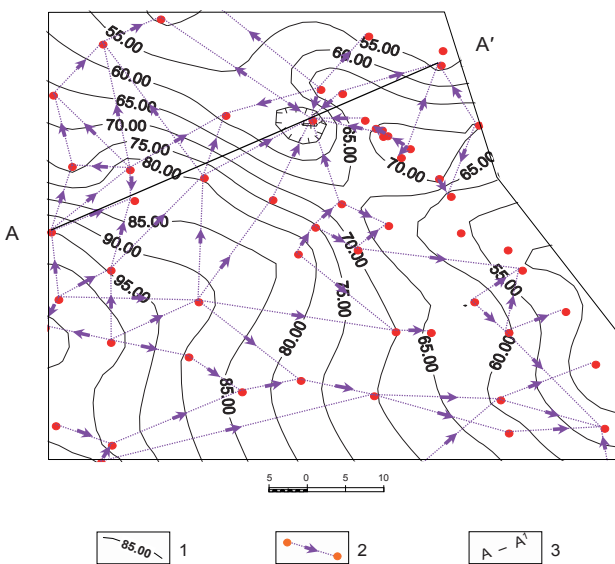


Рис. 2. Геолого-структурна схема підошви київської світи

Примітка: 1 – ізолінія абсолютних відміток підошви київської світи; 2 – напрямок видимого нахилу підошви київської світи між свердловинами на ділянці геологічного розрізу з ознаками розривних порушень; 3 – лінія розрізу А – А¹.

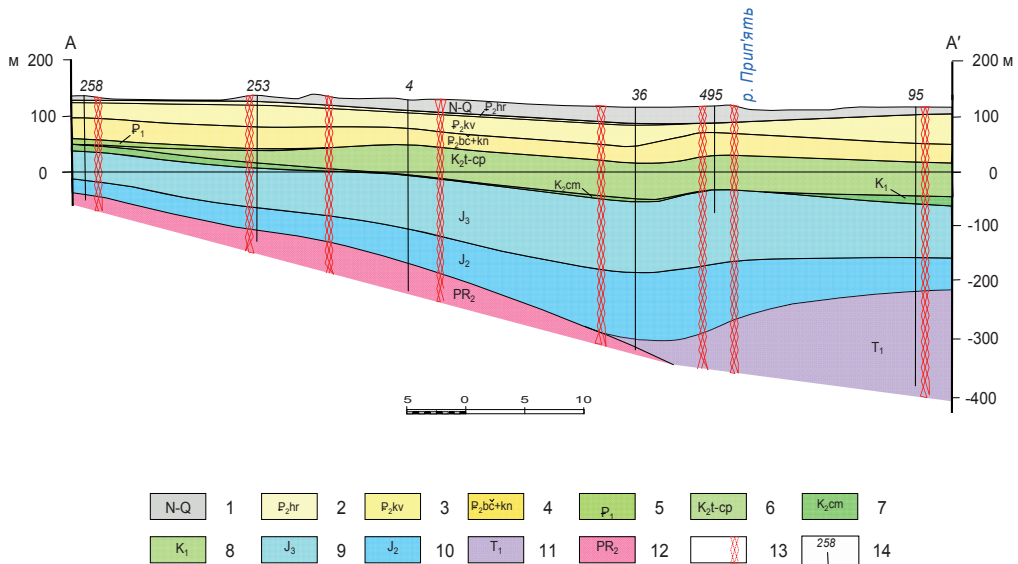


Рис. 3. Схематичний розріз по лінії А – А'

Пояснення: 1 – неоген-четвертинна товща: піски алювіальні та флювіогляціальні, пісковики, строкаті глини; 2 – палеогенова система, олігоценовий відділ, харківська світа: алеврити, піски, пісковики; 3 – палеогенова система, еоценовий відділ, київська світа: мергелі, алеврити з глауконітом та/або з фосфоритом, піски, пісковики; 4 – палеогенова система, еоценовий відділ, канівська та бучацька світи: піски, алеврити, глини, вуглисти відклади; 5 – палеогенова система, палеоценовий відділ: алеврити, вуглисти алеврити; 6 – крейдова система, верхній відділ, туронський, коньякський, сантонський, кампанський яруси: крейда, кремені, вапняки, мергелі, глини; 7 – крейдова система, верхній відділ, сеноманський ярус: піски, пісковики, мергелі; 8 – крейдова система, нижній відділ: піски, пісковики, вапняки; 9 – юрська система, верхній відділ: піски, пісковики, алеврити, глини, мергелі, вапняки, спонголіти; 10 – юрська система, середній відділ: глини алеврити, піски, пісковики; 11 – триасова система, нижній відділ: глини, піски, пісковики; 12 – протерозойська група, верхня підгрупа: гранітоїди, мігматити, гнейси, діабази; 13 – прояви новітніх розривних порушень; 14 – свердловина та її номер.

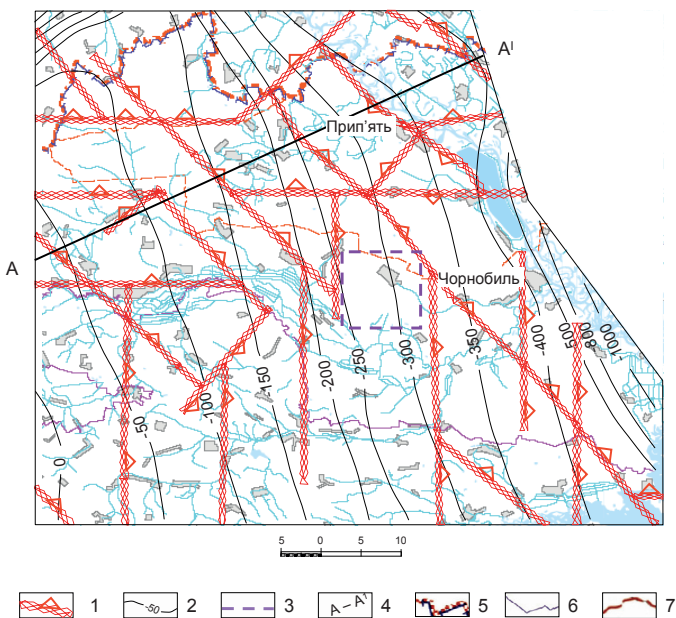


Рис. 4. Схема новітньої блокової тектоніки території зони відчуження за геолого-структурними даними та матеріалами дистанційних зйомок

Примітка: 1 – прояви новітніх розривних порушень, зубець, звернений до опущеного крила; 2 – ізолінія абсолютних відміток поверхні докембрійського фундаменту; 3 – межа умовно перспективної ділянки з вибору місця для геологічного сховища РАВ; 4 – лінія розрізу A–A'; 5 – державний кордон; 6 – межа зони відчуження; 7 – межа 10-кілометрової зони.



Рис. 5. Картосхема розташування пунктів спостереження

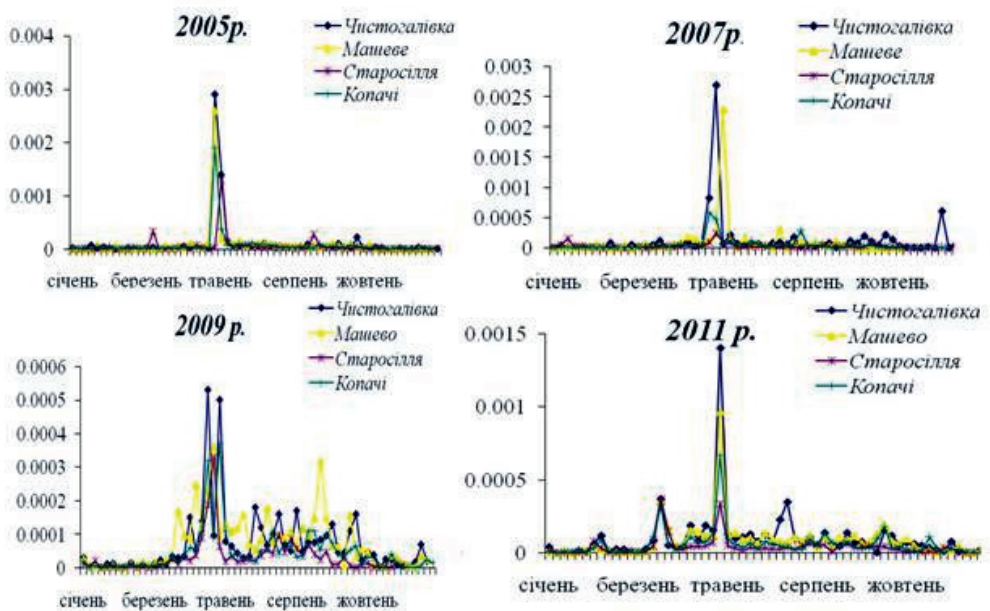


Рис. 6. Збільшення об'ємної активності ^{137}Cs у приземному шарі атмосфери у весняний період

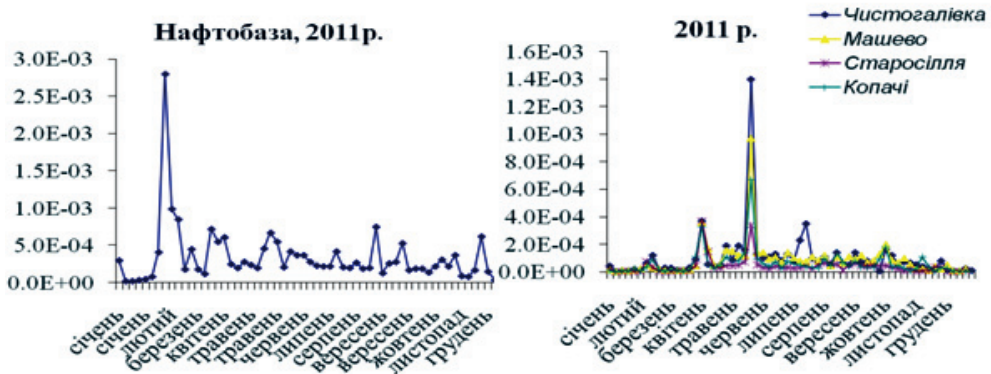


Рис. 7. Об'ємна активність ^{137}Cs у приземному шарі атмосфери на пунктах спостереження «Нафтобаза», «Машеве», «Старосілля», «Копачі» та «Чистогалівка» у 2011 р.

Старосілля, 2011 рік

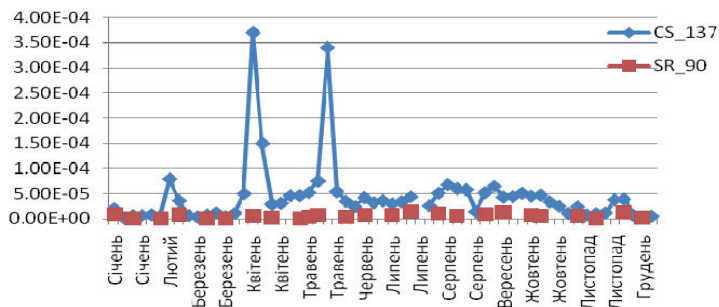


Рис. 8. Співвідношення ^{137}Cs до ^{90}Sr у приземному шарі атмосфери у весняний період на прикладі пункту спостереження «Старосілля»

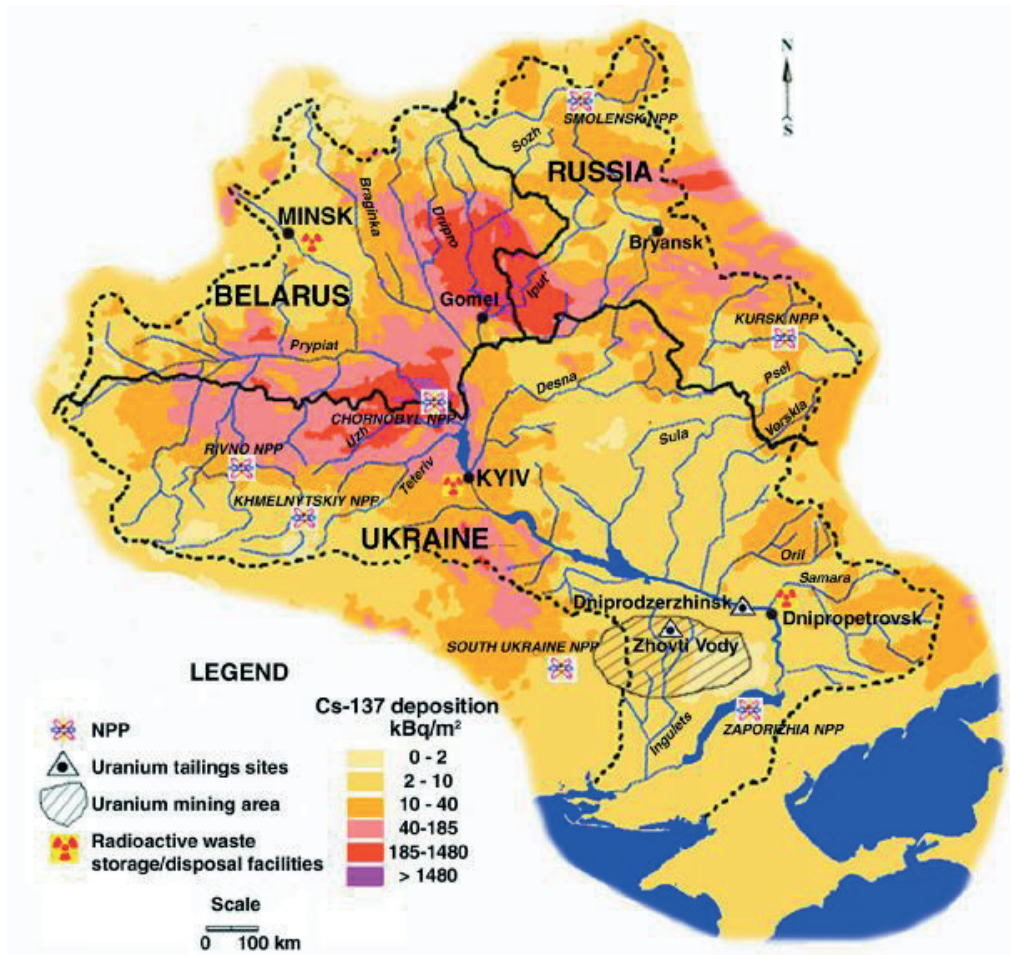


Рис. 9. Кarta загрязнений пoсле Чорнобильської катастрофи, 1986 г.

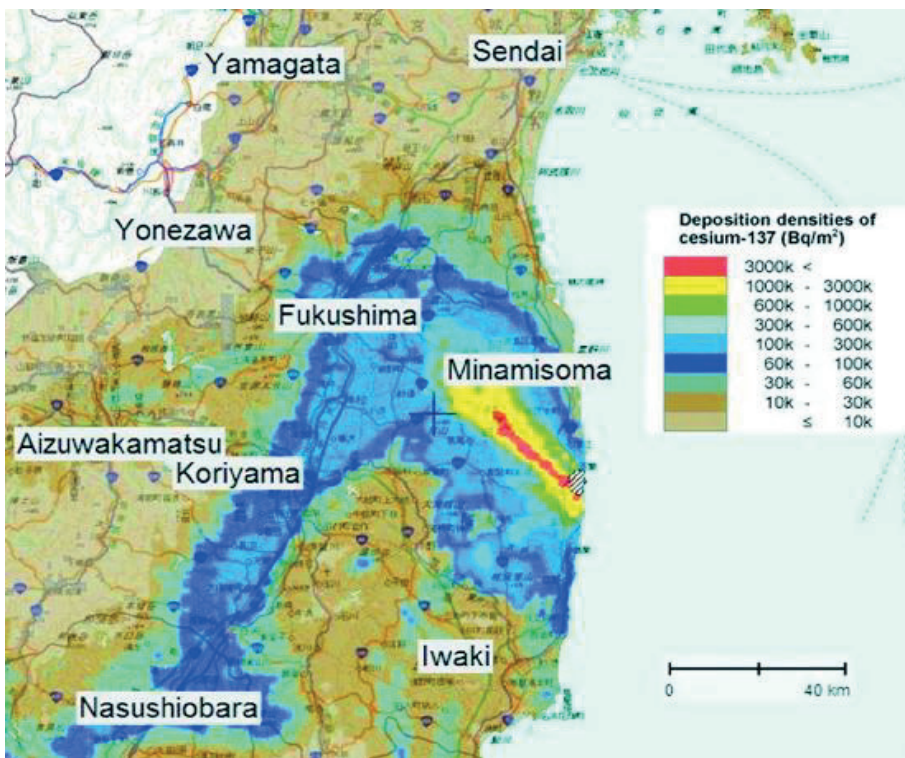


Рис. 10. Карта загрязнений после катастрофы на Фукусима, 2011 г.

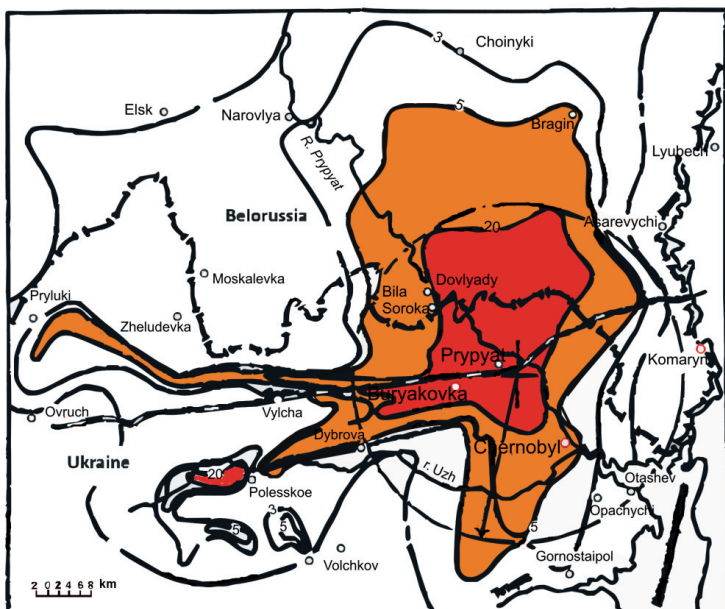


Рис. 11. Радиоактивное загрязнение местности на 10 мая 1986 г. по данным Госкомгидромета СССР ($\text{mrem}\cdot\text{h}^{-1}$) [49]

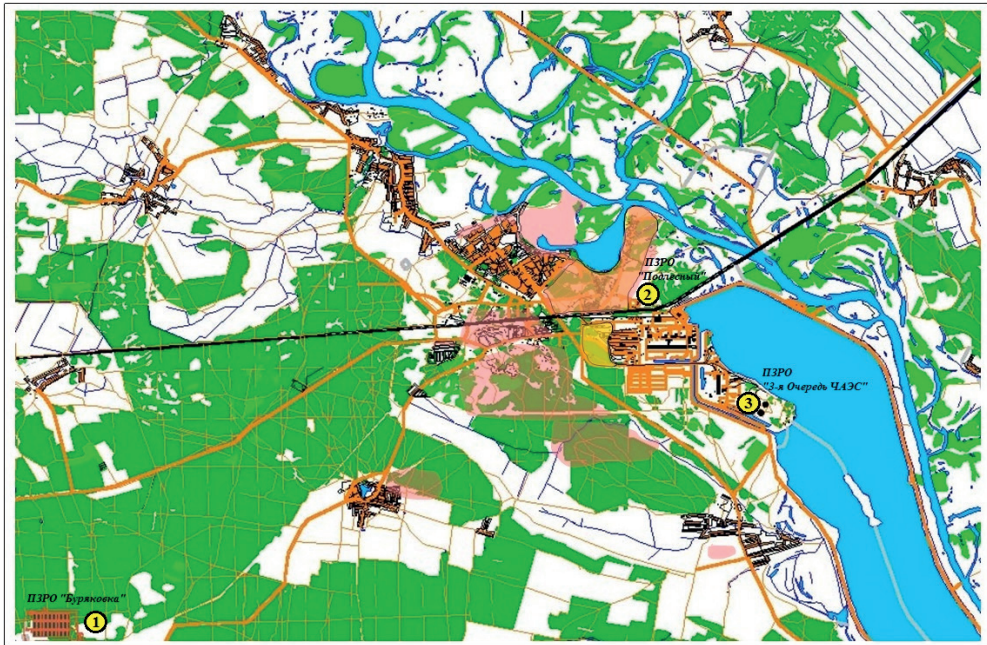


Рис. 12. Современная карта-схема размещения хранилищ РАО на территории зоны отчуждения

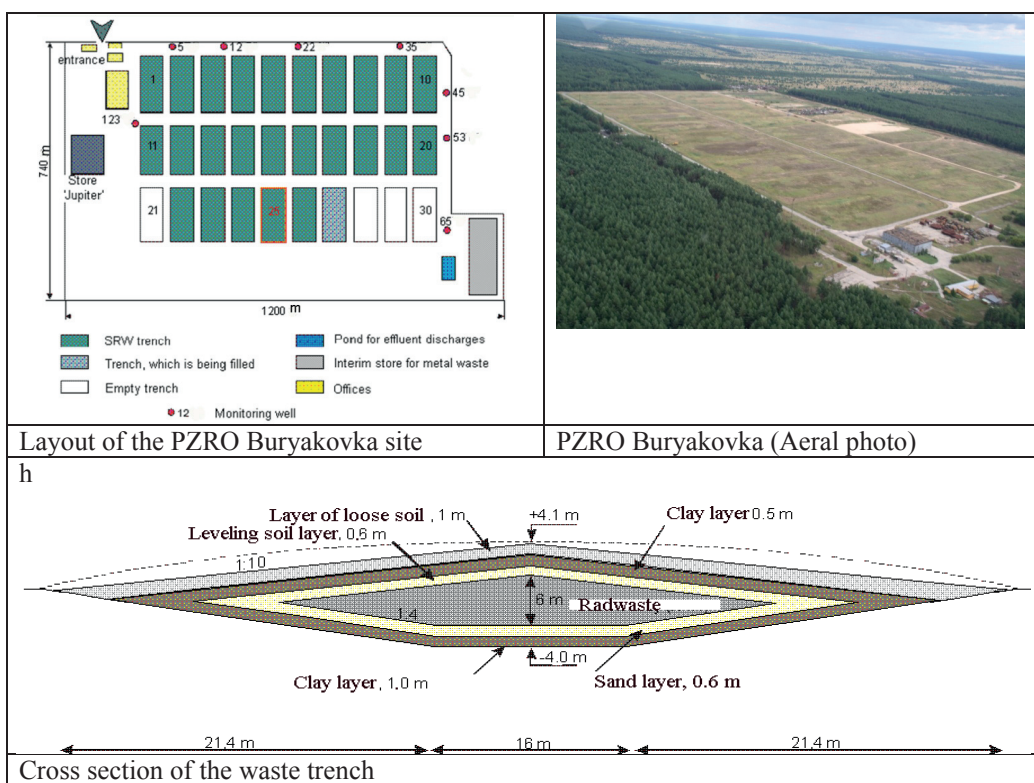


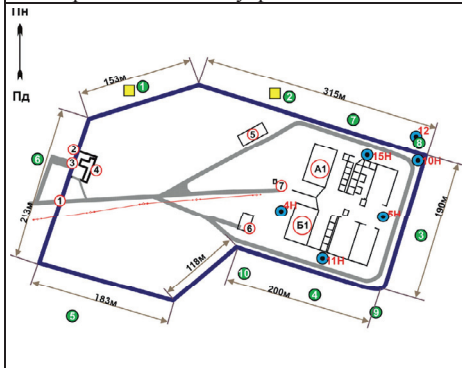
Рис. 13. ПЗРО «Буряковка». План, общий вид, конструкция траншей



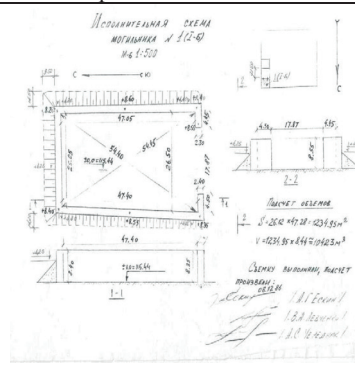
а) Модуль А-1 после первичной консервации. Вид изнутри



б) ПЗРО «Подлесный» после консервации в настоящее время



г) Общий план ПЗРО «Подлесный» и точки контроля подземных вод.



д) Исполнительная схема модуля А-1. 1986 г.

Рис. 14. ПЗРО «Подлесный»